## 2484444 UU2 ԳԻՏПԻԹՅПԻՆՆԵՐԻ ԱԿԱԴԵՄԻԱՅԻ ՏԵՂԵԿԱԳԻՐ ИЗВЕСТИЯ АКАДЕМИИ НАУК АРМЯНСКОЙ ССР

Մեխանիկա

XL, No 6, 1987

Механика

УДК 539.3

## ИЗУЧЕНИЕ ЗАКОНОМЕРНОСТЕЙ ПРОЦЕССА ВОЗБУЖДЕНИЯ УПРУГИХ ВОЛН ПРИ СЛОЖНОМ НАГРУЖЕНИН УЧАСТКА ИЗОТРОПНОЙ УПРУГОЙ ПОЛОСЫ

гринченко в. т., петрищев о. н.

В ходе проектирования ультразнуковых волноводных структур возникает вопрос об эффективности возбуждения отдельных форм волнового движения (нормальных волн). В работе [1] получены выражения, позволяющие рассчитать амплитуды нормальных воли и изотронном слое, в поперечном сечении которого заданы объемные силы. В ряде практически важных задач реализуются более сложные варианты нагружения внешними силовыми факторами. Так, при проектировации электроакустических преобразователей электромагнитного типа ультразвуковых магнитострикционных линий задержки, и ходе расчета встречно-штыревых преобразователей функциональных устройств на новерхностных акустических волнах, а также при изучения эффективности работы преобразователей, примсияемых для неразрушающего контроля качества изделия, возникает необходимость решения задачи о возбуждении упругих воли системой объемных и поверхностных нагрузок.

#### §1. Постановка и решение задачи

Рассмотрим изотропную пластинку, расположенную в декартовой системе координат  $(x_1, x_2, x_3)$  таким образом, что наименьший размер пластинки, то есть ее толицина 2a, отсячтывается в обе стороны по оси  $Ox_3$ . Будем полагать, что размеры пластинки вдоль осей  $Ox_4$  и  $Ox_9$  существенно превышают величину 2a. Если к тому же внешние силовые факторы не зависят от координаты  $x_4$ , то можно перейти к плоской модельной задаче в области  $(-\infty < x_9 < \infty, -a < x_3 < a)$ .

Предположим, что в некоторой ограниченной области внутри полосы создано векторное поле объемных сил, заданное плотностими  $F_i(x_j)$  (j=2,3), а на поверхности волновода в пределах той же области задано поле напряжений  $z^*_i(x_2,-a)$ . Если внешние нагрузки изменятся во времени по гармоническому закону с частотой о и их действие длится бесконечно долго, то компоненты  $u_k(x_j)$  (k=2,3) вектора смещения могут быть определены в результате решения стационарного уравнения движения

$$2\mu_{\mathcal{I}_{hf,f}} + \dots = -F_{h} \tag{1.1}$$

совместно в граничными условиями 22

$$2uz_{ij} + i z_{ij} z_{ii} + z_{ij}^*; \quad x_i = \pm a \tag{1.2}$$

В уравнениях (1.1), (1.2) приняты следующие обозначения: и и  $\lambda$ —константы Ламе;  $\varepsilon_{kj}$ —компоненты тензора бесконечно малых деформаций;  $\varepsilon_{kj}$ — символ Кронекера:  $\varepsilon$ —плотность среды: запятая между индексами обозначает операцию дифференцирования выражения, стоящего до запятой по координате, падекс которой проставлен после запятой.

Так как область нагружения упругой полосы внешними силовыми факторами ограничена по условию задачи и компоненты вектора смещения в реальных ситуациях удовлетворяют условиям изучения [2], сформулированную задачу можно решить с помощью метода интегральных преобразований. Использование описанной в монографии [2] техники обращения интегралов Фурьс позволяет получить искомое представление для вектора смещений  $u^{(\pm)}(x_2, x_3)$  в виде разложений по нормальным волнам, уходящим вправо (знак минус) и влево (знак плюс) от зоны возбуждения, причем

$$u^{(\pm)}(x_2, x_3) = \sum A^{(\pm)}(\gamma_{\xi}) \cdot u^{(\pm)}(x_3, \gamma_2) \exp(-i\gamma_1 x_3), \quad \epsilon = n, m$$
 (1.3)

где  $A_{\xi}^{(\pm)}(\gamma_{\epsilon})$ —амплитудные множители симметричных ( $\xi=m$ ) волн Лэмба;  $\gamma_{\epsilon}$ — полновое число пормальной волны, которое на данной частоте  $\phi$  является корием дисперсионного уравнения  $\Delta_{\xi}(\gamma_{\epsilon})=0$ ;  $\gamma_{\epsilon}$ )—нормальные волны, то есть собственные функции одпородной краевой задачи, которая описывается уравнениями (1.1), (1.2) с равными нулю правыми частями; t=V-1. Для симметричных ( $\xi=m$ ) и антисимметричных ( $\xi=m$ ) вели Лэмба дисперсионные уравнения имеют вид

$$\Delta_n(\gamma_n) := (\gamma_n^2 - \beta_n^2)^2 \sin \beta_n a \cos \alpha_n a + 4\gamma_n^2 \alpha_n \beta_n \sin \alpha_n a \cos \beta_n a = 0$$

$$\Delta_m(\gamma_m) := (\gamma_m^2 - \beta_m^2)^2 \sin \alpha_m a \cos \beta_m a + 4\gamma_m^2 \alpha_m \beta_m \sin \beta_m a \cos \alpha_m a = 0$$

а компоненты векторов смещений  $[u]_{j}^{(\pm)}(x_{j},\gamma_{j})$  однородной граничной задачи определяются следующим образом:

$$u(-(x_{n}, \gamma_{n})) = \frac{2\gamma_{n}^{2} \sin z_{n} a \sin \beta_{n} x_{3} - (\gamma_{n}^{2} - \beta_{n}^{2}) \sin \beta_{n} a \sin z_{n} x_{3}]}{(1.4)}$$

$$u(\pm)(x_{3}, \gamma_{n}) = \frac{2z_{n}\beta_{n} \sin z_{n} a \cos \beta_{n} x_{3} + (\gamma_{n}^{2} - \beta_{n}^{2}) \sin \beta_{n} a \cos z_{n} x_{3}]}{(\gamma_{n}^{2} - 1) \sin z_{n}} [2z_{n}\beta_{n} \sin z_{n} a \cos \beta_{n} x_{3} + (\gamma_{n}^{2} - \beta_{n}^{2}) \sin \beta_{n} a \cos z_{n} x_{3}]}$$

$$u(\pm)(x_{3}, \gamma_{n}) = \frac{1}{1 + \alpha_{n}^{2} + 1} [(\gamma_{n}^{2} - \beta_{n}^{2}) \cos \beta_{n} a \cos z_{n} x_{3} - 2\gamma_{n}^{2} \cos z_{n} a \cos \beta_{n} x_{3}]}{(1.5)}$$

$$u(\pm)(x_{3}, \gamma_{n}) = \frac{1}{1 + \alpha_{n}^{2} + 1} [(\gamma_{n}^{2} - \beta_{n}^{2}) \cos \beta_{n} a \sin z_{n} x_{3} - 2z_{n}^{2} \cos z_{n} a \sin \beta_{n} x_{3}]}$$

В приведенных выше формулах волновые числя т и 3: удовлетворя-

ют соотношениям:  $\mathbf{1} + \mathbf{1} = k_D$ ,  $\beta + \mathbf{1}_{\ell} = k_{\ell}^2$ , причем  $k_D^2 = \omega^2 \rho / (\kappa + 2\mu)$ ,  $k_{\ell}^2 = \omega^2 \rho / \mu$ .

При этом амплитудные коэффициенты А⇒(¬) рассчитываются по формулам

$$A_n^{(\pm)}(\gamma_n) = \frac{i(\gamma_n^2 - \beta_n^2) \sin\beta_n a}{4\mu\alpha_n\gamma_n\Delta_n(\gamma_n) \sin\alpha_n a} \left[ \frac{\gamma_n^2 - \beta_n^2}{k_s^2} \int_{-\alpha_n}^{\infty} \int_{-\alpha_n}^{\alpha_n} \int_{-\alpha_n}^{\alpha_n} \frac{i}{k_s^2} (x_2, x_3) \cdot n^{i(\Xi_n)}(x_3, \gamma_n) \times \right]$$

$$\times \exp^{\mp i \pi_n x_1} dx_3 dx_2 - 2a_n \sin a_n a \int_{-1}^{1} a_{33}^*(x_2, a) \exp(\mp i \gamma_n x_2) dx_2 \uparrow$$

$$= \frac{i(\frac{a_1}{a_2} - \mu_0^2)}{\cos a_n a_1} \cos a_n a_2(x_2, a) \exp(-\pi i \gamma_n x_2) dx_2$$
 (1.6)

$$A_{m}^{(\pm)}(\gamma_{m}) = \frac{I(\gamma_{m}^{2} - \gamma_{m}^{2})\cos\beta_{m}a}{4\mu\alpha_{m}\gamma_{m}\Delta_{m}(\chi_{m})\cos\alpha_{m}a} \left( -\frac{\gamma_{m}^{2} - \beta_{m}^{2}}{k_{i}^{2}} \int_{0}^{\infty} \int_{0}^{\infty} F(x_{2}, x_{3}) - mn^{(\pm)}(x_{2}, x_{3}) \times \frac{1}{2\pi} \left( -\frac{1}{2\pi} - \frac{1}{2\pi} - \frac{$$

$$\times \exp(\mp i\gamma_m x_2)dx_3dx_2 + 2\alpha_m\cos\alpha_m a\int_{-\alpha}^{\alpha}\sigma_{33}(x_0, a)\exp(-i\gamma_m x_2)dx_2 \pm$$

$$+\frac{i(\gamma_m - |x_n|)}{\gamma_m} \sin \alpha_m a \int_a \sigma^*(x_2, a) \exp(+i\gamma_m x_2) dx_2$$
 (1.7)

где  $\chi_i = \chi_i^2$  (: n, m); штрих при символ дисперсионного уравнения, то есть запись типа  $\Lambda_i(\chi_i)$  обозначает первую производную по веременной  $\chi_i$  от функции  $\Delta_i(\chi_i)$ , при этом подразумевается, что  $\Delta_i(\chi_i) = 0$ .

Снловые факторы  ${}_3F_k(x_2,x_3)$ ,  ${}_aF_k(x_2,x_3)$  и  ${}_3S_{3k}^*(x_2,a)$ ,  ${}_aS_{3k}^*(x_2,a)$  суть симметричные и антисимметричные составляющие приложенных извне нагрузок, причем

$$\begin{vmatrix} F_1(X_1, X_2) \\ F_2(X_2, A) \end{vmatrix} = (-1)^{k+\epsilon} \begin{vmatrix} qF_k(X_2, -X_2) \\ -qG_{3k}(X_2, A) \end{vmatrix}$$

При q=s число z=2, а при q=a z=1. Очевидно, что комбинацией симметричных и антисимметричных составляющих можно представать любое, произвольно распределенное по поперечному сечению и боковой поверхности полосы поле внешних силсвых факторов.

Конкретиый вид пыражений для расчета амилитудных коэффициентов во многом определяется структурой формул, описывающих собственные функции однородной краевой задачи. Описание симметричных воли лэмба соотношениями (1.4) теряет смысл при  $(\gamma_n^2 - \beta_n^2) \sin \beta_n a = 0$ , то есть на частотах существования воли чистого сдвига и в четных узлах криволинейной сетки Миндлина [2]. На этих же частотах ста-

новится неприемлемым для практического использования выражение (1.6). В этих случаях следует пользоваться формулами вида

$$A = \left( -\frac{2\gamma_n \beta_n \cos \beta_n a}{k_1^2 \cos \alpha_n a} \int_{-\infty}^{\infty} \int_{-a}^{x} \vec{F}(x_2, x_3) \cdot \mathbf{n} = (x_1, x_2) \times (x_2, x_3) \cdot \mathbf{n} = (x_2, x_3) \cdot \mathbf{n} = (x_1, x_2) \times (x_2, x_3) \cdot \mathbf{n} = (x_2, x_3) \cdot \mathbf{n}$$

$$\times \exp(-t\gamma_n x_2) dx_3 dx_2 + \frac{\gamma^2 - \gamma_n^2}{2} \sin 3_n a \int_{S} z_{33}^*(x_0, a) \exp(-t\gamma_n x_2) dx_2$$

$$\pm 2i3_n\cos 3_n a + s_{32}(x_2, a) \exp(-i\gamma_n x_2) dx_2$$

где

$$u(x_1, \gamma_n) = \begin{bmatrix} \cos z_n x_3 - \frac{(\gamma_n^2 - z_1)\cos z_n a}{2\gamma_n \cos z_n a} \cos z_n x_3 \end{bmatrix}$$

$$u(x_1, \gamma_n) = -\begin{bmatrix} z_n \sin z_n x_3 + \frac{-z_n^2 \cos z_n a}{2z_n \cos z_n a} \sin z_n x_3 \end{bmatrix}$$

На частотах, где величина  $+ - \beta_m^2 \cos \beta_m \alpha = 0$ , то есть в особых узловых точках и нечетных узлах криволинейной сетки Миндлина, теряют смысл выражения (1.5) и, как следствие, выражение (1.7). На этих частотах необходимо пользоваться следующими представлениями компонентов вектора смещения и антисимметричной нормальной волие Лэмба:

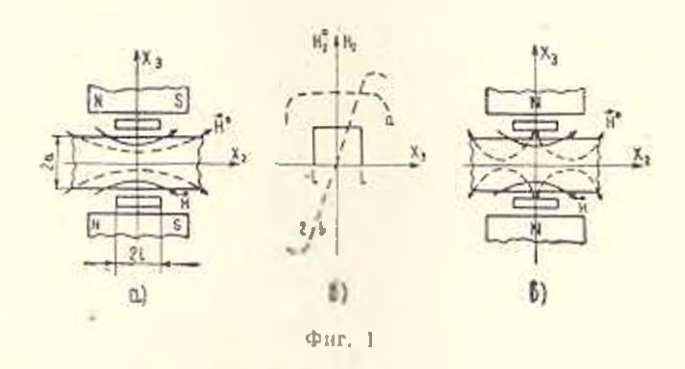
$$mu_{2}^{(\pm)}(X_{3}, \gamma_{m}) = -i\gamma_{m} \left[ \sin \alpha_{m} X_{3} - \frac{1}{2} \sin \alpha_{m} X_{3} - \frac{1}{2} \sin \alpha_{m} X_{3} - \frac{1}{2} \sin \alpha_{m} X_{3} + \frac{1}{2} \sin \alpha_{m} X_{3} - \frac{1}{2} \sin \alpha_{m} X_{3} + \frac{1}{2} \sin \alpha_{m} X_{3} - \frac{1}{2} \sin \alpha_{m} X_{3$$

при этом соотношение для расчета амплитудных коэффициентов примет вид

$$A \oplus (\gamma_m) = \frac{1}{2\mu^{\Delta_m}(\chi_m)} \left\{ \frac{2\gamma_m \beta_m \sin \beta_m}{k_1^2 \sin \alpha_{c_1} a} \int_{-\infty}^{a} \int_{-a}^{a} \tilde{F}(x_2, \ldots) \times \exp(-i\gamma_m x_2) dx_3 dx_5 + \frac{i_m}{\gamma_m} \cos \zeta \right\} = a \exp(-i\gamma_m x_2) dx_2 + 2i\beta_m \sin \beta_m a \int_{-a}^{a} \sigma^2_{32}(x_2, a) \exp(-i\gamma_m x_2) dx_2 \right\}$$

#### §2. Модельные исследования

Для изучения закономерностей формирования полновых полей в изотроиной полосе расемотрим модельную задачу о возбуждении илоско-параллельным магнитным полем катушки упругих колебаний в полосе, материал которой обладает магнитострикционными свойствами. Расчетые схемы лвух вариантов практического исполнения электро- акустических преобразователей показаны на фиг. 1а, в. Будем полагать, что пространственное распределение напряженности магнитного поля катушки  $H(x_i)$  и поля подмагничивания, поляризующего материал полосы, можи анпроженмировать однокомнонентными векторами  $H(x_i) = e_0 H_2(x_i)$  и  $H^i(x_i) = e_2 H_2^0(x_2)$  ( $e_2$  — единичный орт). Характер изменения функции  $H_2(x_2)$  показан на фиг. 16 (сплошкая лиция), зависимости  $H_2^i(x_2)$  показаны на фиг. 16 штриховыми кривыми, причем кривая 1 аппроженмирует поле подмагнич вания и расчетной схеме, показанной на фиг. 1а, а кривая 2 соответствует схеме, представленной на фиг. 1а.



Предположим, что  $H^0 \gg B$  этом случае магнитострикционные напряжения и силы будут определяться следующими соотношениями:

$$= (x_1, a) = m_{mikj} [f(0(x_j)) I_m(x_l)]_{,j}$$

гле  $m_{nmk}$  —комплиент тензора пьезомагнитных констант [3, 4], причем, как показал К. Б. Власов [3], для изотрояного в размагниченном состоянии поликристаллического материала пьезомагантные константы  $m_{nmkj}$  определяются двумя линейно независимыми компонентами  $m_n$  и  $m_n$  ( $m_{nma}$  —  $m_n$  ,  $m_{nnjj}$  —  $m_2$ ,  $m_{njej}$  —  $m_{njjn}$  =  $(m_1, m_n)_1$ 2).

По аналогии с пьезоэлектрическими константами [5] можно предположить, что  $m_2 = -m_1/2$ . В этом случае выражения для амплитуд нормальных воли примут вид:

а) для расчетной схемы на фиг. 1а

$$A^{(\pm)}(\gamma_n) = -\frac{m_1 l I^0 H_n}{2\mu(1-\nu)} \frac{(\gamma_n^2 - \beta_n^2) s! n^3 n^n}{r_n^2 \Lambda_n(\gamma_n)} \frac{s! n^2 n^l}{\gamma_n l} \left[ 2\nu \pm i \frac{\alpha_n}{\gamma_n} (1-\nu) (l\alpha_n) \right]$$
(2.1)

б) для расчетной схемы на фиг Ів

$$A_{n}^{(1)}(x) = -\frac{m_{1}H^{0}H_{1}}{2u(1-v)} \frac{(x-1)\sin^{2}a}{2n^{2}a_{n}(\chi_{n})} \left\{ 2 \cdot \frac{\sin^{2}a}{\gamma_{n}l} + \frac{1}{2} \cdot \frac{\sin^{2$$

$$+ l \frac{1}{\gamma_n} (1-\gamma)(\gamma_n l) \left[ \frac{\sin \gamma_n l - (\gamma_n l)^2 \cos \gamma_n l}{(\gamma_n l)^3} \right]$$
 (2.2)

где у—коэффициент Пуассона, 2I—длина участка магнитострикционной полосы нагружаемой гармонически (с частотой  $\omega$ ) изменяющимся во времени магнитным полем электроакустического преобразователя.

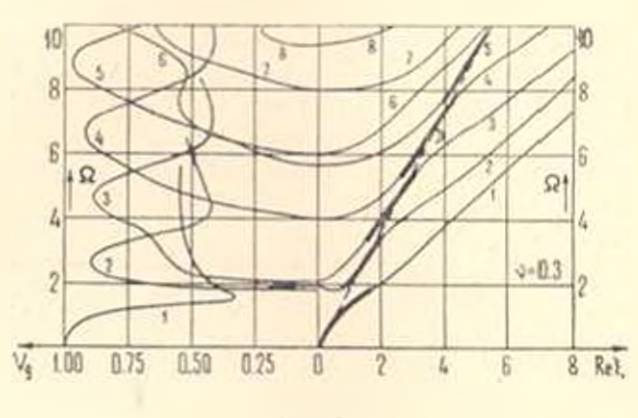
С учетом соотношений (2.1) и (2.2) в в соответствии с методикой, изложенной в монографии [2], был выпелнен расчет потоков мониюсти первых восьми симметричных мод Лэмба, которые возбуждаются различными по пространственному распределению системами объемных и поверхностных нагрузок.

Отличительной особенностью преобразователя, расчетная схема которого показана на фиг. 1а, является го, что и данном случае реализуется песамоуравновещенная поверхностная нагрузка  ${}_{3}{d}_{23}(X_{21}|a)_{i}$  в то время как объемияя сила  $F_2(x_2, x_3)$  является самоуравновещенной нагрузкой. Во втором варнанте (фиг. 1в) роль иссамоуравновещенной нагрузки переходит к объемным силам, а поверхностные магнитострикционные напряжения  $.z_{33}(x_2, a)$  являются самоуравновещенными нагрузками. В ходе расчетов установлено, что в свучае несамоуравновешенных поверхностных нагрузок имеют место резонансные явления вблизи тех частог запирания высших мед, на которых симметричная волна Лэмба вырождается в волну дв. зтации. Однако, групновые скорости воли на частоте резонанеа равны вулю, что эквивалентно отсутствию вклада этих мод в энергетику вольювого поля в дальней зоне. За некаючением этого момента существенных различий и частотнозависимом изменении энергоемкости распространяющихся воли, которые возбуждаются различными по пространственному распределению нагрузками, не обнаружено.

На инзких частотах, где существует только одна распространяющаяся мода, естественно, только она и переносит энергию вдоль волновода. Затем ее энергоемкость уменьшается и статус доминирующей (в смысле энергоемкости) волны приобретает вторая мода. Установлена следующая закономерность. Начиная с частоты запирания, величина мощности, которая уногитея от ноны возбуждения пормальной волной номера  $n(n \ge 1)$ , постепенно увеличивается с ростом частоты. На некотором интервале частот n-ая мода становится доминирующей, а затем энергоемкость этой волны плавно уменьшается и статус доминирующей приобретает  $\{n+1\}$ -ая симметричная волна Лэмба.

Определенные черты результатов, которые были получевы в предположении, что t/a=0,1, более отчетлино видны из графиков, приведенных на фиг. 2, в правой полуплоскости которой приведен фрагмент
картины, изображающей дисперсионные харяктеристики симметричных
волн Лэмба (v=0,3). По оси абсинсе в правой полуплоскости фиг. 2
отложено безразмерное волновое число  $1=2,a/\pi$ , а по оси ординат
отсчитывается безразмерная частота  $\Omega=2k_{*}a/\pi$ . Доминирующая моля
обозначена более жирной липпей, наложенной на соответствующую

ветвь корней дисперсионного уравнения. Из фигуры видно, что все жирные линии близки к штриховой прямой D, которая определяет волновые числа волны лилатации. Отеюдя межно слелать вывод, что доминирующая пормальная волиз должна иметь постоянную распространения, числовое значение которой на данной частоте  $\Omega$  менее всего (по сравнению с другими модами) отличается от величины  $k_D$ . Данное обстоятельство было подмечено еще Торвиком [6] при исследования

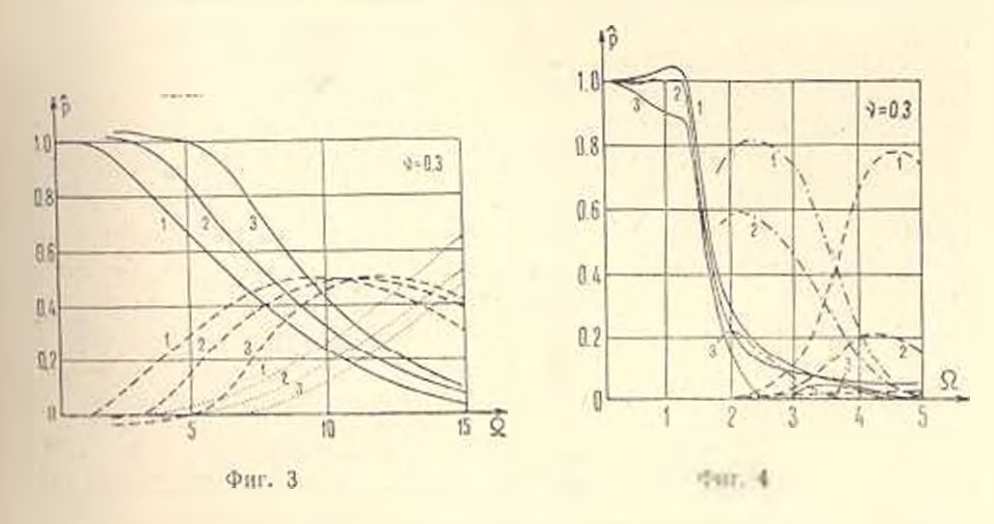


Фиг. 2

численными методами модальной структуры волновых полей, возбужденных с тория в полубесконечном слос. В левой полуплоскости фиг. 2 приведены нормированные на величину иластиночной скорости графики групповых скоростей нормальных воли, спектр волновых чисел которых изображен в правой полуплоскости рисунка. Как видно из фиг. 2, частотные интервалы доминирования нормальных воли по значениям групповых скоростей и переносимой энергии тождественно равны между собой. Такое совпадение обусловлено физическим смыслом понятия групповой скорости [2]. Однако, это соответствие наблюдается лишь тогда, когда протяженность области нагружения существенно меньше цирины полосы, то есть при

На фиг. З представлены графики, иллюстрирующие характер частотного изменения удельного вклада объемных (сплошные кривые) и поверхностных (пунктирные кривые) нагрузок в поток мощности уходящий от области возбуждения и связанный с существованием первых трех симметричных воли Лэмба. Цифры, проставленные возле кривых, соотнетствуют номерам мод. В области иизких частот, где существует только лишь первая распространяющаяся мода, закачка эпергии в упругий волновод обеспечивается работой объемных сил на позбуждаемых ими же перемещениях, то есть амплитуда первой пормальной волны Лэмба полностью определяется первым глагаемым и фигурпых скобках выражения (1.6). Такая ситуация сохраняется вплоть до частоты  $\Omega = \sqrt{2}$ . Возрастание частоты приводит к тому, что максимальные значения перемещений материальных частиц упругой среды начинают наблюдаться и примыкающих к границам цолновода —  $\pm \pi$  областях. При этом возрастает работа объемных сил на перемещениях,

созданными поверхностными нагрузками и работа поверхностных нагрузок на возбужденных объемными сплами перемещениях. Это показано штриховой кривой на фиг. 3. В области высоких частот Ω>13 переменения частии среды заметны яниь в узкой приграничной области волновода и здесь основной вклад в энергетику волнового поля оказывает работа поперхностных нагрузок на поверхностных перемешениях. Начиная с частоты  $\Omega\!pprox\!20$  ампантуда первой симметричной волны Лэмба полностью определяется поверхностными нагрузками, то есть иторым и третьим слагаемыми в фигурных скобках выражения (1.6). Аналогичные тенденции, как это видно из графиков на фиг. 3. характерны и для высших мод. Специфический характер пространственного распределения полей магингострикционных сил и магнитострикпионных напряжений приводит к появлению отрицательных значений смешанной работы, то есть работы объемных сил на поверхностных перемещениях и поверхностных нагрузок на перемещениях, обусловленных объемными силами. Отрицательные значения смешанной работы для высших мод проявляются в частотном интервале, который снизу ограничен частотой запирания данной нормальной волны, а сверху ограничен частотой, на которой 😘 = kp. С ростом номера нормальной волны отрицательные значения смешанной работы возрастают.



Практический интерес представляет исследование влияния протяженности зоны нагружения на эффективность возбуждения нормальных воли. На фиг. 4 показаны графики частотного изменения уровией потоков мощности, которые переносятся первыми тремя продольными волиами Ламба. Значения потоков мощности нормированы на величину мощности, уносимой первой модой (сплошные кривые) на частоте  $\Omega$  = 0.01 возбужденной преобразователем с параметром I/a = 0.1. Цифры, проставленные возле кривых, соответствуют различным значениям параметра I/a (1 соответствует I/a=0.1; 2-I/a=0.5; 3-I/a=1); интрихнунктирными кривыми изображены потоки мощности второй моды и штриховыми кривыми—потоки мощности третьей нормальной волны.

Расчеты проводились в предположении, что преобразователь выполнен по схеме, представленной на фиг. 1, в.

Как видно из графиков, преобразователи конечных размеров эффективно возбуждают лишь паннизии: симметричные волны Лэмба. Так, при l'a=0.5 ффективно возбуждаются всего гри первых нормальных волны. Уровин высших моэ  $(n\geq3)$  не превышают 2% от уровня энергии, уносимой первой симметричной волной и области частот  $\Omega\!\!<\!1$ . Преобразователь с размером l'a=1 эффективно возбужлает лишь первые лве симметричные волны Лэмба. Характерной чертой, присушей результатам, представлениям на фиг. 4, является резкий спад максимальных уровней мощности с ростом номера моды, смещение максимумов перечосимой энергии в область частот, где длина волны соответствующей моды достаточно велика по сравнению с длиной области нагружения. При l'a=1.0 отчетливо просматриваются достигающие нулевой отметки оспилляции уровия мощности, уносимой первой нормальной волной.

Причиной отмеченных выше особенностей следует считать явление интерференции упругих воли.

Рассмотрим элементарный участок  $x - \Delta x$ , ( $x_9 = const$ ) волновода, который находится в зоне нагружения магнитным полем. В результате прямого магинтострикционного эффекта этот участок генерирует стационарное волновое поле, которос характеризуется стационарным распределением фаз по ялине водновода. Другой элементарный участок волновода  $x_2 - \Delta x_2$  (x =const) сенерирует свое волновое поле. которое на данной частоте имеет ту же длину волны, что и поле излучения первого участка, и характеризуется также стационарным распределением фаз по длине волновода. Между этими двумя стационарными полями возникает постоянный фазовый сдвиг, который проворинонален величине  $\gamma_*(x_3-x_3)$ . Указанный фазовый едвиг и зависимости от частоты колебаний и расстояния х - х, может приобретать значения в (0, 2=), то есть результирующее поле может либо взанущо усиливаться, либо булет наблюдаться взащиное подавление колебаний, которые генерирую ся различными, симметрично расположенными в зоне нагружения магнятным полем, участками магнитострикционного волновода. При некоторых значениях частоты о (волнового числа 🚮 разность фаз между стационарными полями излучения, симметрично расположениях относительно плоскости симметрии области нагружения участков волковода, достигает такой величины, что наступает полная взаимная компенсация отдельных составляющих результирующего поля. Такая ситуация соответствует нулевым потокам мощности и периодически повтогляется с ростом частоты. Это хорошо видно на примере графика при t/a = 1.0 (фиг. 4)

Таким образом, изменяя размеры области нагружения (размеры преобразователя), можно управлять эффективностью возбуждения той или иной нормальной волны в заданном дианазоне частот.

# STUDY OF THE EXCITATION PROCESS LAW OF ELASTIC WAVES UNDER COMPLICATED LOADING OF THE PART OF ISOTROPIC LAYER

V. T. GRINCHENKO, O. N. PETRISCHEV

ԱՍԱԶԳԱԻՄԵ ԱՍՄԵՐԻ ԳԻՐԵՐԻ ԵՐԻՐԵՐԻ ԵՐԻՐԵՐԻ ԳԱՐԳԵՍԱՐ ԱՄԵՍ ԳԱՐԳ ԳՐԱԳ ՎՄՄՄԱՄԵՐ ԱՏԻՐԵՐ ԻՐԳՏՈԶԻ ԳԱՐԻՐԵՐԻ ԵՐԻՐԵՐԻ ԵՐԻՐԵՐԻ ԱՄՈԿՐԵՐԻ ՄԱՄԳՈԵՐԻ ՄԱՄԳՈԵՐԻ

Վ, Տ, ԳՐԻՆՉԵՆԿՈ, Օ, Ն, ՊԵՏՐԻՇՉԵՎ

### Undernienen

Ինանգրալ ձևափոխունյունների մեկոդով ստացված է Լեմբի այիքների կրդոման խնդրի լուծումը՝ իղոտրոպ շերտի տեղամասը ծավալային և մակրդոման խնդրի լուծումը՝ իղոտրոպ շերտի տեղամասը ծավալային և մակրիսույթային բեռներով բեռնավորներ դեպքում։ Մոդելային օրինակով ուսումնասիրված են սիմնարիկ ալիքների դաշտի էներդնաիկ բնութադրերը։ Հաստատված է, որ բեռնավորման փոքր տիրույթի դեպքում հաճախականային միջակայքները, որտեղ նորմալ ալիքը տեղափոխում է մյուսների հաժակատ ամենամեծ էներդիան, համարնկնում են այն համախումիրունների միջակայքներն, որտեղ Լևմբի ավյալ ալիքը ունի մյուս տարածված մողներ Համենատ խմրային արագություն ամենամեծ արժեքը։ Ուսումնասիրված են ծավալային և մակերևույթային բեռների տեսակարում Հանախումնասիրված են ծավալային ալիքային դաշտի Լներդետիկայում։ Հանախությունները հեռավոր վոնակ արդումները նորմալ ալիքների դրդոման արդյունավնաության վրատ Մտադված արդյունըներին տրմած է ֆիզիկական մեկնաբանության վրատ

#### ЛИТЕРАТУРА

- Вовк А. Е., Тютекин В. В. Возбуждение нормальных поли в илоском упругом волноводе силами, заданимми и его поперечном сечении.—Тр. Акуст. ин-та, 1969, выи 9, с 5—26.
- 2. Гримченко В. Т., Мелешко В. В. Гармонические колебания и полны и упругах телах.—Киев: Наук думка, 1981—283 с.
- 3. Власов К. Б. Некоторые вопросы теории упругих ферромагнитных (магнитострякшлонных) сред.—Изв. АН СССР, сер. физическая, 1957, т. 21. № 8, с. 1140— 1148.
- 4. Яямов В. Е. Поляризационные эффекты и авизотропия взаимодействия акустаческих воли в кристаллах — М.: Изд-во МГУ, 1983—223 с.
- Берлинкур Д., Жаффе Г., Керран Д. Пьезоэлектрические и пьезомагинтные материалы и их применение и преобразонателях.—В ки.: Физическая акустика, т. І., ч. А. Методы и приборы ультразвуковых исследования.—М.: Мир. 1966, с. 204—326.
- 6. Torvic P. J., Mr Claichey J. J. Response of an elastic plate to a cyclic longitudinal force —J. Acoust. Soc. Amer., 1968, v. 44, № 1, p. 59—64.

Киевский ордена Леняна политехнический институт

Поступила в редакцию 16.1.1986